

بررسی تأثیر اندام اقلیمی کُلک در تهویه طبیعی مسکن روستایی استان سیستان و بلوچستان؛ مطالعه موردی: روستای قلعه‌نو شهرستان زابل

میلاذ حدادی*، فرح حبیب**، راضیه لیب‌زاده***

تاریخ دریافت مقاله:

۱۴۰۲/۰۹/۲۲

تاریخ پذیرش مقاله:

۱۴۰۲/۱۰/۰۷

چکیده

مصرف زیاد انرژی در بخش ساخت‌وساز در دنیای امروز باعث شده است که در کنار ضایعات عظیم منابع طبیعی تجدیدناپذیر، مشکلات محیط‌زیستی عدیده‌ای ایجاد شود. در این میان، معماری بومی توانسته است خود را با اقلیم سازگار کند. یکی از مناطق بومی کشورمان استان سیستان و بلوچستان است که یکی از مظاهر مسکن بومی این استان در مسکن روستایی آن یافت می‌شود و نمونه بی‌نظیر آن بهره‌گیری از سامانه‌های غیرفعال خورشیدی در بخش تهویه طبیعی است؛ بنابراین بازشناسی اندام‌های اقلیمی مسکن روستایی کشورمان که در پاسخ به نیازهای آسایش حرارتی ساکنین بوده است یکی از راهکارهای پاسخ به نگرش‌های جدید ساخت مسکن در روش‌های جدید ساخت است. در این نوع ساختمان‌ها تهویه طبیعی، انرژی کمتری مصرف می‌کند و آلودگی کمتری در قیاس با روش‌های جدید سرمایه‌داری دارد. یکی از اندام‌های اقلیمی مسکن روستایی این پهنه، کُلک است که یک نوع بادگیر بومی مناطق زابل است. هدف این مقاله بررسی تأثیر این نوع بادگیر در تأمین آسایش حرارتی مسکن روستایی از طریق تهویه طبیعی است. در این مقاله در ابتدا با استفاده از روش پژوهش کیفی به‌صورت توصیفی - تحلیلی و سپس با بهره‌گیری از برداشت میدانی از الگوی مسکن روستایی قلعه‌نو به بررسی روش‌های استفاده از باد در تهویه طبیعی مسکن روستایی این پهنه با استفاده از اندام اقلیمی کُلک پرداخته شد. متغیر وابسته پژوهش، آسایش حرارتی و متغیر مستقل سرعت باد است. در ادامه با استفاده از نرم‌افزارهای تحلیل دینامیک سیالاتی محاسباتی (CFD)، به تحلیل رابطه بین متغیرها پرداخته شد که در نهایت به بررسی تأثیر حالت‌های مختلف، یعنی وضع موجود (برداشت‌شده)، فرض وزش باد عمود بر دهانه کُلک، فرض تهویه بدون بهره‌گیری از این اندام و رفتار باد در حالت کُلک با ارتفاع بیشتر در فرایند بهینه‌سازی منجر شد. مطالعات نشان داد، عملکرد این نوع بادگیر در حالت وضع موجود بهترین عملکرد را دارد و نیز با بررسی شبیه‌سازی‌ها مشخص شد باید نکاتی از قبیل: محل قرار دادن پنجره‌ها و دریچه‌های مکش موردتوجه قرار گیرد.

کلمات کلیدی: اندام اقلیمی، کُلک، تهویه طبیعی، مسکن روستایی.

* دانشجوی دکتری تخصصی معماری، دانشکده عمران، معماری و هنر، واحد علوم و تحقیقات، دانشگاه آزاد اسلامی، تهران، ایران.
** استاد گروه معماری، دانشکده عمران، معماری و هنر، واحد علوم و تحقیقات، دانشگاه آزاد اسلامی، تهران، ایران. F.habib@srbiau.ac.ir
*** استادیار گروه معماری، دانشکده عمران، معماری و هنر، واحد علوم و تحقیقات، دانشگاه آزاد اسلامی، تهران، ایران.

مقدمه

سهم ساختمان‌های جدید از کل انرژی مصرفی در سراسر جهان ۳۰ تا ۴۰ درصد است. پیش‌بینی می‌شود این میزان تا سال ۲۰۵۰ تا ۵۰ درصد افزایش یابد (Marin et al., 2016). با توجه به مصرف بالای انرژی، ساختمان‌ها، سالانه ۳۰ درصد از گازهای گلخانه‌ای (GHG) منتشر شده در جو را تولید می‌کنند و این امر موجب ایجاد مشکلات متعدد در سراسر جهان از جمله گرم شدن کره زمین و تغییرات آب‌وهوایی می‌شود (Wang et al., 2016). در این میان، مطالعات نشان می‌دهد سازه‌های سنتی همساز با اقلیم موسوم به معماری بومی توانسته است با مصرف انرژی و تولید آلودگی بسیار کمتر در مقایسه با ساختمان‌های جدید، محیط زندگی دارای آسایش حرارتی و منطبق با شرایط اقلیمی مختلف فراهم کند (Abro, 1994; Fathy, 1986). زندگی انسان به‌طور مستقیم و غیرمستقیم تحت تأثیر شرایط اقلیمی است (Ramezani et al., 2013). معماری بومی از این شرایط استفاده می‌کند تا آسایشی را که ساکنان می‌خواهند، فراهم کند. یک ساختمان بومی ساختمانی است که توسط مردم محلی با استفاده از فناوری و مصالح بومی در تطابق با بافت پیرامون خود ساخته شده است تا شیوه‌های زندگی مخصوص به ساکنین را شکل دهد (Foruzanmehr, 2015). این توصیفی است کاملاً مطابق با آنچه امروزه به‌عنوان پایداری شناخته می‌شود. در این روش ساخت‌وساز، سرمایه‌ش و گرمایش مسکن عمدتاً مبتنی بر اقدامات غیرفعال با حداکثر استفاده از منابع طبیعی انرژی است، منابعی مانند باد و نور خورشید (Raggete, 2003). اقلیم‌های مختلف نیازمند پاسخ‌های معمارانه متفاوتی برای برآوردن الزامات مختلف هستند (Soleymanpour, 2015). بنابراین، تنوع آب‌وهوا

منجر به ایجاد معماری‌های متفاوت در ساختمان‌های بومی شده است. مقصود از معماری بومی در این پژوهش، معماری منطبق بر ساختار محلی یا منطقه‌ای تعریف می‌شود که برای بنای آن از مصالح و منابع سنتی منطقه‌ای استفاده می‌گردد. این معماری ارتباط نزدیکی با بافت خود دارد و از ویژگی‌های خاص جغرافیایی و جنبه‌های فرهنگی محیط پیرامون خود تأثیر می‌پذیرد. مقصود از معماری سنتی نیز در این پژوهش معماری گذشته کشورمان است که در دوره‌های پیشین بر اساس بسترهای حکومتی و فرهنگی خود شکل می‌گرفته است. معماری بومی بخش بزرگی از معماری سنتی ایران را شکل می‌دهد که تقریباً به ۸۰۰۰ سال قبل بازمی‌گردد (Memarian. et al., 2004). همان‌طور که پیشتر ذکر شد؛ هر شکلی از معماری، از جمله زبان بومی، به‌طور متقابل با بافت محلی آن مرتبط است (Foruzanmehr, 2011). در نتیجه، با توجه به شرایط اقلیمی مختلف در سراسر کشور، معماران ایرانی راهکارها و روش‌های مختلفی را برای سازگاری با این اقلیم‌ها ارائه کرده‌اند. این راه‌حل‌ها و روش‌ها همه در کنار هم شخصیت کلی معماری بومی مناطق مختلف را شکل می‌دهند. یکی از مظاهر و اشکال معماری بومی در کشورمان در مسکن روستایی نمود پیدا می‌کند که در نمونه‌های بی‌شماری در تطبیق با اقلیم و بوم منطقه ساخته می‌شده است (Khalili, 2014).
مرور پیشینه پژوهش‌های انجام‌شده در این باب در معماری و سکونت منطقه سیستم‌ها نشان می‌دهد محققانی چون مولانایی و سلیمانی (۱۳۹۵) نحوه عملکرد شگردهایی چون دریچه، کُکک و خارخنه را به روش کیفی تشریح کرده‌اند. معماریان و همکاران (۱۳۹۶) و حیدری و همکاران (۲۰۱۷) این شگردها را از منظر بررسی نقش باد در آن‌ها به کمک نرم‌افزار

در این پژوهش برای مشخص شدن میزان کارایی اندام اقلیمی کُلک، مقایسه بین استفاده و عدم استفاده از این اندام، تغییر گشودگی دهانه کُلک نسبت به وضع موجود، افزایش ارتفاع قرارگیری آن نسبت به وضع موجود صورت می‌پذیرد و با مقایسه کمی بین داده‌ها میزان کارایی مذکور بررسی می‌شود. در هر گام، کلیه فعالیت‌های انجام‌شده و اطلاعات موردنظر به‌منظور دستیابی به این هدف جمع‌آوری شده‌اند. در فرایند پژوهش در گام نخست به بررسی مفاهیم پایه، تعریف اندام اقلیمی کُلک، روش‌های تأمین انرژی یا این اندام و سازوکار عملکردی آن، شناخت پهنه اقلیمی روستای موردنظر (قلعه‌نو) و بررسی گونه‌شناسی مسکن روستایی این روستا پرداخته شده است. در گام بعدی، تحلیل‌های کمی جهت بررسی کارکرد اقلیمی این نوع اندام در جهت تأمین آسایش حرارتی این پهنه انجام شده است. شبیه‌سازی انرژی عملکرد اندام اقلیمی کُلک با توجه به نوع ساختار کالبدی این اندام و ماهیت تأمین انرژی و نقش تأمین تهویه طبیعی آن‌ها با استفاده از نرم‌افزار انسیس فلونت^۲ در جهت گردآوری داده‌های موردنیاز برای گام‌های بعد انجام شد. لازم به ذکر است برای دریافت اطلاعات پایه‌ای برای ورودی نرم‌افزار اصلی از نرم‌افزارهای پایه‌ای نظیر کلایمت کانتالنت^۳ نیز بهره گرفته شده است. گام سوم مربوط به تحلیل داده‌های پژوهش است. برای تحلیل این داده‌ها نیاز است که روند شبیه‌سازی نمونه موردپژوهی، با در نظر گرفتن متغیرهای مستقل و وابسته انجام گیرد. سرعت باد به‌عنوان متغیر مستقل و آسایش حرارتی به‌عنوان متغیر وابسته با کمک گردآوری داده‌های پژوهش در گام دوم به دست آمده است. با استفاده از نرم‌افزارهای تحلیل دینامیک سیالاتی محاسباتی^۴، به تحلیل رابطه متغیرهای کالبدی اندام اقلیمی کُلک و همچنین

CFD موردبررسی قرار داده‌اند. پژوهش داوطلب، حافظی و ادیب (۱۳۹۵) نقش پوشش گیاهی بر خرداقلیم منطقه را موردبررسی قرار داده و حیدری و داوطلب (۱۳۹۸ و ۱۳۹۹) به بررسی رفتار حرارتی یک نمونه خارخُنه ابداعی در اتاقی با ویژگی‌های معماری بومی منطقه پرداخته‌اند. در پژوهش دیگری داوطلب و حیدری (۲۰۲۱)، نقش یک خارخُنه ابداعی در فضای باز را بر آسایش حرارتی محیط خارج بررسی کرده‌اند. این مقاله سعی دارد با شناخت اندام‌های اقلیمی این نوع مسکن (مسکن روستایی) در پهنه استان سیستان و بلوچستان کاربرد اندام اقلیمی کُلک^۱ را متناسب با اقلیم خود بررسی و نحوه سازوکار این اندام را در برقراری شرایط آسایش حرارتی مسکن روستایی این اقلیم تحلیل نماید.

پرسش‌های تحقیق

- اندام اقلیمی کُلک در مسکن روستایی ناحیه گرم و خشک شهرستان زابل تا چه حد به لحاظ کیفی بر تأمین آسایش حرارتی این نوع مسکن تأثیرگذار است؟

فرضیه تحقیق

- به‌کارگیری اندام اقلیمی کُلک در مسکن روستایی پهنه گرم و خشک استان سیستان و بلوچستان در ارتقای سطح آسایش حرارتی از طریق تهویه طبیعی مؤثر است.

روش تحقیق

پژوهش حاضر با هدف بررسی عملکرد اندام اقلیمی کُلک در پهنه گرم و خشک مسکن روستایی استان سیستان و بلوچستان انجام شده است؛ لذا از این منظر از نوع کاربردی و از منظر روش، عملیاتی است؛ بدین معنا که هدف پژوهش کاربرد نتایج پژوهش در ساخت بناهای با کاربری مسکن روستایی خواهد بود. از نظر روش‌شناسی این پژوهش از مسیر طراحی، ساخت و بهینه‌سازی و بازخوردگیری در پی حصول نتایج است.

شاخص‌های ارزیابی میزان تأمین آسایش حرارتی و تهویه طبیعی از طریق اندازه‌گیری سرعت جریان باد پرداخته شده است که در نهایت به بررسی تأثیر متغیرهای طراحی جهت انجام فرایند بهینه‌سازی منجر شد. نتایج حاصل در این بخش مجدداً تحلیل و در گام چهارم به نتیجه‌گیری داده‌های خروجی گام قبلی پرداخته شد و با تحلیل و مقایسه بین حالت‌های مختلف نظیر: حالت اول) وضع موجود؛ ۲) وضع موجود بدون استفاده از کُلک؛ ۳) وضع موجود و افزایش دهانه کُلک؛ ۴) وضع موجود و افزایش ارتفاع کُلک، میزان کارکرد این اندام در تأمین آسایش حرارتی این پهنه بررسی شده است.

ادبیات موضوع

در این بخش به بررسی مباحثی حول موضوع پژوهش و تعریف آنها می‌پردازیم.

اندام اقلیمی

مقصود از اندام‌های اقلیمی آن دسته از اجزای کالبدی در معماری مسکن روستایی است که کارکرد اقلیمی غیرفعال دارند و مجموع این اجزا، سامانه‌های غیرفعال خورشیدی را در معماری ایجاد می‌نمایند و نیازهای اقلیمی مسکن روستایی را اعم از گرمایش، سرمایش، تهویه و سایر موارد برای آسایش حرارتی، بصری و غیره برطرف می‌نماید.

روش‌های تأمین انرژی

ساختمان‌ها به دو طریق قادر به تأمین نیاز حرارتی خود از خورشید هستند: غیرفعال و فعال. سامانه‌های غیرفعال خورشیدی برای دریافت تابش خورشید، تبدیل انرژی خورشید به انرژی مورد استفاده در فضای داخل و انتقال و توزیع آن در داخل، به انرژی ثانویه نظیر انرژی برق یا فسیلی احتیاج ندارند. از این نظر در مقایسه با سامانه‌های فعال آلاینده‌گی محیط‌زیستی کمتری دارند. از

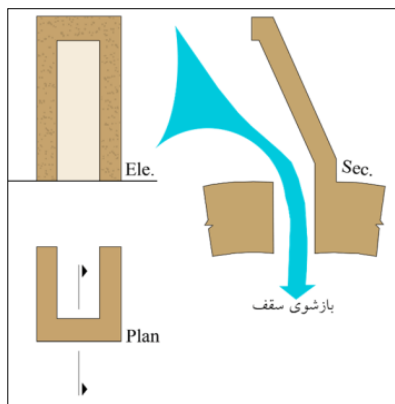
سوی دیگر، به دلیل عدم وابستگی به انرژی‌های ثانویه عمدتاً بخش محدودی از فضا را گرم یا سرد می‌کنند (فیاض، ۱۴۰۰). کاربرد سامانه‌های غیرفعال خورشیدی در ساختمان‌های مسکونی بسیار رایج و کارآمد است. این سامانه‌ها عموماً می‌توانند به‌سادگی به طراحی معماری افزوده شوند. بهترین روش برای استفاده از این سامانه‌ها در معماری ساختمان‌ها، در نظر گرفتن آن‌ها از ابتدای فرایند طراحی است (رضامنش و همکاران، ۱۳۹۲). در این پژوهش، تمرکز بر روی اندام‌های اقلیمی و کاربرد آن‌ها به‌عنوان سامانه‌های غیرفعال خورشیدی است.

اندام‌های اقلیمی به‌مثابه سامانه‌های خورشیدی غیرفعال

در این پژوهش با توجه به بستر مورد بررسی که مسکن روستایی پهنه گرم و خشک استان سیستان و بلوچستان در کشور است و به‌طور خاص به بحث پیرامون اندام اقلیمی این پهنه می‌پردازد. به بازشناسی عنصری از این سامانه‌ها (مستقیم و غیرمستقیم غیرفعال خورشیدی) به نام کُلک می‌پردازیم که در معماری بومی و دیرینه مسکن روستایی در کشورمان استفاده می‌شده است. این اندام با این نام در دسته‌بندی سامانه‌های غیرفعال خورشیدی مرسوم قرار نمی‌گیرد، اما کارکرد آن همان‌طور که پیشتر اشاره شد مشابه سامانه‌های غیرفعال خورشیدی است و برای تأمین آسایش حرارتی با بهره‌گیری از تهویه طبیعی عمل می‌کند. لازم به ذکر است که اندام‌های اقلیمی صرفاً در فرایند تهویه طبیعی نقش ندارند و در این فرایند، عنصر معمارانه حیاط، نقش مهمی در تکمیل عملکرد و ایجاد کوران طبیعی در فضاهای داخلی دارد (سرگزی و همکاران، ۱۴۰۰).

کُلک (kolak)

معماران بومی سیستان با اجرای راه‌حل‌هایی مؤثر که بعضاً در نوع خود بی‌نظیر هستند، شرایط سخت و



ت ۳. نحوه عملکرد کُلک در تهویه طبیعی (تصویر سمت راست: مقطع و تصویر سمت چپ بالا: نما و چپ پایین: پلان)

شناخت و معرفی روستای قلعه‌نو

روستای قلعه‌نو جزو دهستان جزینک از بخش جزینک شهرستان زابل است که در ارتفاع ۵۰۰ متری از سطح دریا واقع شده است. روستا در ۲۶ کیلومتری جنوب شهر زابل قرار گرفته است و تا مرکز استان ۲۰۶ کیلومتر فاصله دارد. روستا متشکل از محله‌های پائین، رازی محله بالا، هندوها و وسط راه است (تصویر شماره ۴).



ت ۴. بافت روستای قلعه‌نو از بالای تپه روستا

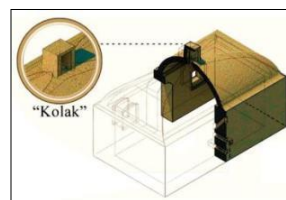
موقعیت جغرافیایی

روستای قلعه‌نو در حدود ۲۶ کیلومتری جنوب شرقی زابل با طول جغرافیایی ۶۱ درجه و ۳۸ دقیقه و عرض جغرافیایی ۳۰ درجه و ۴۸ دقیقه قرار گرفته است و جزئی از دهستان ناروئی از بخش شهرکی و ناروئی شهرستان زابل است. این روستا در ۱۱ کیلومتری جاده اصلی زابل-میلک و ۱۱ کیلومتری مرز ایران-افغانستان

آزاردنده اقلیمی و آب‌وهوای خشن را مهار کرده و از این شرایط تعدیل شده به بهترین وجه در ایجاد محیطی آسوده و متعادل در سکونتگاه خود استفاده کرده‌اند (حیدری و همکاران، ۱۳۹۸). در معماری بومی این استان به‌منظور ایجاد تهویه طبیعی اقدام به ایجاد عناصری با رویکرد سرمایه‌ش غیرفعال کرده‌اند که هوای داخلی فضاها خنک شود (داوطلب و همکاران، ۱۳۹۸). لذا برای ورود باد و تهویه مسکن روستایی دریاچه‌هایی شبیه به بادگیر، اما با ساختاری ساده‌تر در بام تعبیه می‌شده است که این اندام به‌عنوان بادگیر یک‌طرفه بومی مناطق گرم‌و‌خشک که در میانه بام ساخته شده است، شناخته می‌شود. کُلک در جهت باد غالب منطقه ساخته می‌شده است. شکل منحنی سقف در پهنه‌های گرم‌و‌خشک کشورمان موجب تسریع باد به سمت دهانه بادگیر می‌شود. این شتاب نیز باعث می‌شود فشار هوا در بالای گنبد پایین بیاید و در نتیجه هوا سریع‌تر وارد اتاق شود. کُلک‌ها عمدتاً سطح نسبتاً کوچکی (حدود ۰/۳۵ متر ۰/۵ متر) دارند. کارکرد این نوع از بادگیرها، انتقال جریان هوا از بام اتاق به درون آن است (سرگزی و همکاران، ۱۴۰۰) (تصاویر شماره ۱ تا ۳).



ت ۱. تصویر یک نمونه اندام کُلک در مسکن روستایی روستای قلعه‌نو شهرستان زابل استان سیستان و بلوچستان



ت ۲. طرح‌واره اندام کُلک و جانمایی آن‌ها در کالبد یک مسکن روستایی. منبع: Heidari et al., 2017

قرار دارد.

ویژگی‌های اقلیمی

استان سیستان و بلوچستان بر اساس طبقه‌بندی کوپن^۵، دانشمند اتریشی از نظر اقلیمی دارای آب‌وهوای خیلی گرم و خشک بیابانی (صحرائی) با تابستانی طولانی است (افشار سیستانی، ۱۳۶۹). میانگین حرارت سالیانه ۲۱/۷ درجه سانتی‌گراد و رطوبت نسبی بین ۲۶ تا ۵۲ درصد است. بارندگی سالانه حدود ۹۹ میلی‌متر و بیشترین میزان بارندگی در یک روز ۴۱ میلی‌متر و روزهای یخبندان در طول سال به ۲۵ روز می‌رسد. متوسط تعداد روزهای آفتابی سالیانه بیش از ۲۶۰ روز و دامنه تغییرات درجه حرارت شبانه‌روز آن زیاد است. مهم‌ترین بادهای محلی منطقه سیستان و بلوچستان عبارت‌اند از:

- باد قوس که در ماه آذر می‌وزد و سبب بارندگی مختصری در منطقه می‌شود؛
 - باد هفتم (سیاه یا گاوکش) از بادهای سرد زمستانی است و از سمت شمال می‌وزد؛
 - باد پلپلاسی (پرستو) از اواسط اسفند شروع می‌شود و وزش آن نشانه آغاز بهار است؛
 - باد قبله (باختر) که در فصول مختلف از غرب منطقه و از سوی دریاچه هامون می‌وزد؛
 - باد ۱۲۰ روزه (لوار) (طرح‌اندیشان شهر، ۱۳۸۴).
- یکی از ویژگی‌های مهم اقلیمی این منطقه تندبادهای ۱۲۰ روزه سیستان است. بادهای ۱۲۰ روزه از اوایل اردیبهشت شروع می‌شود و حدود ۴ ماه در سال ادامه دارد و اواسط شهریور تمام می‌شود. بیشترین سرعت بادهای در منطقه ۱۰۰ و برخی اوقات به ۱۲۰ کیلومتر بر ساعت می‌رسد. این بادهای در ابتدای صبح جوی آرام را سپری می‌کند و در حدود ساعت ۹ و ظهر به بیشترین

سرعت خود می‌رسد. از بعدازظهر بادهای شروع به آرام شدن می‌کند و در انتهای شب جوی آرام‌تر را سپری می‌کند (اداره آب‌وهواشناسی زابل، ۱۳۸۷).

تاریخ روستا

روستای زیبای قلعه‌نو به دلیل دارا بودن شرایط ویژه نسبت به سایر روستاهای منطقه از بافتی تاریخی و منحصر به فرد برخوردار است. بر اساس شواهد و اسناد تاریخی موجود، قدمت روستای قلعه‌نو به دوره ساسانی می‌رسد. بنا بر اظهار نظر «اوتن اسمیت» جهانگرد انگلیسی، قلعه‌نو یکی از اصلی‌ترین مراکز زابل و محل سکونت سردار شریف خان از آخرین بازماندگان قدیمی بلوچ است. روستا بر روی یک تپه بلند رُسی بنا شده و دورتادور آن به وسیله بارو احاطه شده است (حناچی و همکاران، ۱۳۹۰).

جمعیت روستا

روستای قلعه‌نو بر اساس سرشماری عمومی نفوس و مسکن در سال ۱۳۹۵، دارای جمعیتی معادل ۱۳۵۳ نفر و ۳۵۸ خانوار است که در مقایسه با سرشماری سال ۱۳۸۵ که جمعیت روستا ۱۲۵۴ نفر بوده افزایش ۹۹ نفری داشته است. جمعیت سال ۱۳۸۵ روستا نیز نسبت به سال ۱۳۷۵ افزایشی برابر با ۷۴ نفر را نشان می‌دهد (مرکز آمار ایران، ۱۳۹۵). این مقایسه بیانگر آن است که جمعیت روستا در بازه ۲۰ ساله رو به افزایش بوده است.

شناخت ساختار عمومی بافت

باتوجه به موقعیت قرارگیری روستا بر روی تپه، در هسته اولیه روستا بناها ساختاری پلکانی و متراکم پیدا کرده‌اند. اما الگوی معماری بناهای در شیب و بناهای پایین دست که در زمین مسطح استقرار دارند در اغلب اوقات یکسان است (تصاویر شماره ۵ و ۶).

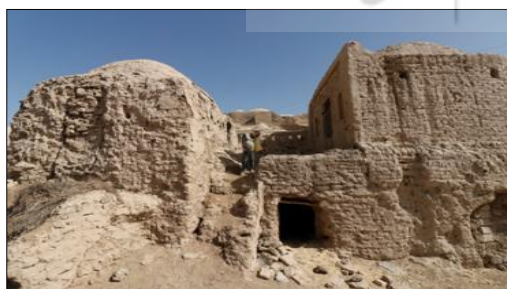
ابنیه روستا نشانگر الگوی استقرار ساده فضاها در کنار یکدیگر و سلسله مراتب ابتدایی بناها است؛ - لک؛ برای ورود باد و تهویه خانه‌ها دریچه‌هایی شبیه به بادگیر، اما با ساختاری ساده‌تر در سقف ابنیه تعبیه می‌شود (تصویر شماره ۷).



تصویر بافت روستای قلعه نو که در آن اندام کلک مشاهده می‌شود

نمونه برداشت شده در روستای قلعه نو

خانه برداشت شده در دامنه تپه که نزدیک به قدیمی‌ترین قسمت بافت است قرار دارد. الگوی این خانه، الگوی رایج روستا است. ساختار خانه دو طبقه است و دسترسی به حیاط مرکزی طبقه اول از طریق پلکان تأمین می‌شود. حیاط مرکزی نیز دسترسی به فضاهای زیستی خانه را تأمین می‌کند. طبقه همکف نیز مربوط به انبار و آغل است. نوع سقف از نوع سیستمی است. مجموع مساحت فضاهای این خانه ۶۳ متر است و شامل دو اتاق مستطیل شکل در طبقه اول و سه اتاق مستطیل شکل در طبقه همکف می‌شود (تصاویر شماره ۸ تا ۱۱).



تصویری از خانه برداشت شده در روستای قلعه نو



تصویر هوایی از بافت روستای قلعه نو (Google Earth، ۱۳۹۷)



نقشه محلات روستای قلعه نو (بنیاد مسکن انقلاب اسلامی، ۱۳۸۸)

ساختار عمومی ابنیه مسکونی روستا

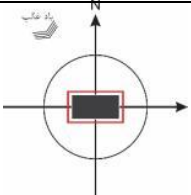
بناهای تاریخی روستا عموماً دو طبقه هستند. طبقه همکف محل نگهداری حیوانات و طبقه اول فضای زیستی خانه است که به آن‌ها «بالاخانه» گفته می‌شود. به دلیل بالا بودن سطح آب‌های زیرزمینی امکان ایجاد زیرزمین در ابنیه وجود نداشته است. پلان ابنیه مسکونی عموماً دارای ویژگی‌های مشخصی است که می‌توان آن را وجه تشخیص معماری قلعه نو دانست:

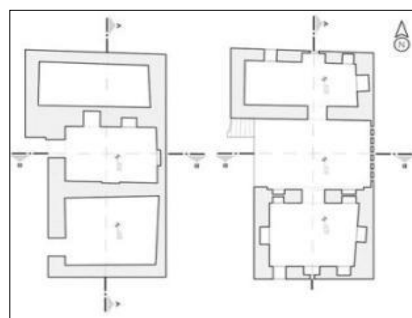
- ساختار ابنیه مسکونی در دو طبقه: قرارگیری انبار علوفه و آغل در طبقه همکف و فضای زیستی در طبقه اول. فضاهای طبقه همکف عموماً با ارتفاعی کم و ورودی کوتاه ساخته شده‌اند؛

- ساختار حیاط مرکزی در طبقه اول واحدهای مسکونی و قرارگیری فضاهای زیستی در اطراف حیاط مرکزی؛
- استقرار پلکان بنا در مجاورت حیاط مرکزی و ایجاد ارتباط عمودی از معابر به طبقه اول واحد مسکونی؛
- ساختار ساده و ابتدایی پلان؛ بررسی الگوهای فضایی

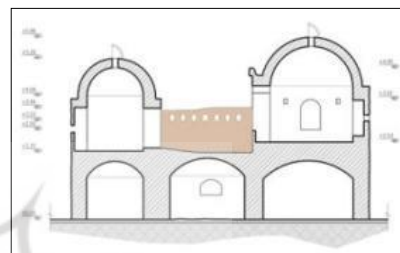
همراه مدل سه بعدی معماری ارائه شده است.

ج ۱. مشخصات خانه شماره یک روستای قلعه‌نو استان سیستان و بلوچستان

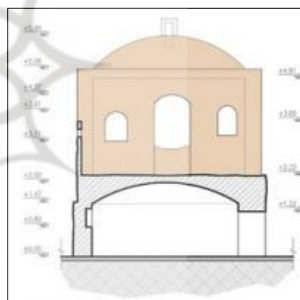
| مساحت | زیربنا | ۱۰۱ مترمربع |
|-------------------------------------|--|---|
| ساختار بنا | فناوری ساخت | دیوار باربر، سقف تیرپوش |
| | پی | سنگ |
| | دیوار | خشت و گل |
| نحوه استفاده از انرژی‌های تجدیدپذیر | سقف | تیر چوبی، کاهگل، گنبد (سیستانی) |
| | جهت‌گیری بنا نسبت به خورشید و باد غالب |  |
| | نوع بهره‌گیری از انرژی‌های تجدیدپذیر | باد |
| | جهت دریافت باد | شمال غربی |
| | بهترین جهت‌گیری نسبت به خورشید | شرقی-غربی |
| | جهت‌گیری ساختمان فعلی | شمالی-جنوبی |



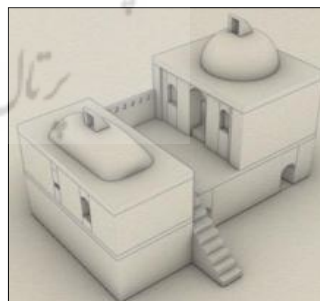
ت ۹. راست: پلان طبقه اول - چپ: پلان طبقه همکف خانه شماره یک



ت ۱۰. برش A-A از خانه برداشت شده



ت ۱۱. برش A-A از خانه برداشت شده



ت ۱۲. مدل سه بعدی معماری خانه برداشت شده روستای قلعه‌نو استان سیستان و بلوچستان

مشخصات این خانه به اختصار در جدول شماره ۱ به

محاسبات تحلیل باد وضع موجود نمونه برداشت شده در روستای قلعه‌نو

خانه برداشت شده از لحاظ نحوه عملکرد تهویه با دو متغیر سرعت و دمای باد تحلیل شد تا سازوکار آن در تأمین آسایش حرارتی مشخص شود. برای این منظور، ابتدا سرعت و دمای باد قبل از دهانه گُلک محاسبه و سپس مقدار این متغیرها در داخل فضا بررسی شد. فایل آب‌وهوایی شهرستان زابل و نمودار گلباد ماهیانه این شهرستان بررسی گردید تا جهت وزش باد مشخص شود. گلباد ماهیانه نشان‌دهنده این است که در همگی ماه‌ها باد با سرعت ۳۰ درجه شمال غربی می‌وزد که در جدول شماره ۲ سرعت میانگین و جهت باد غالب به صورت ماهیانه درج شده است. از نرم‌افزار کلایمت کانتالنت برای این منظور استفاده شده است؛ سپس مدل تهیه شده در نرم‌افزار انسیس فلونت بارگذاری شده تا تأثیر باد بر ساختمان و متغیرهای موردنظر مشخص شود (تصویر شماره ۱۳).

۳. شبیه‌سازی CFD باران ناشی از باد در نمای ساختمان (Blocken, 2014).

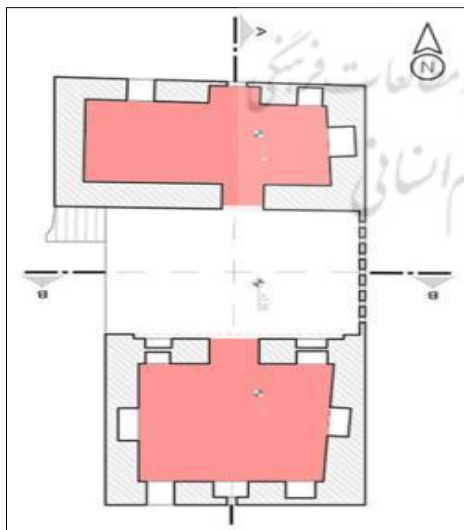
CFD به‌ویژه برای شبیه‌سازی شرایط تهویه طبیعی در فضاهای داخلی مناسب است (van Hooff et al., 2010).

یافته‌ها

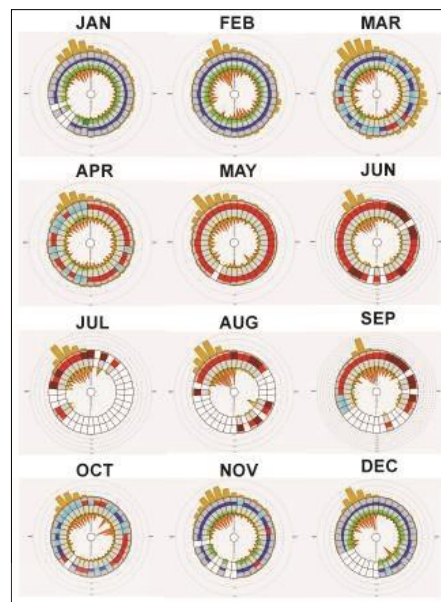
در این بخش نتایج تحلیل‌های حالت‌های مختلف به ترتیب ارائه می‌گردد.

رفتار باد در اتاق‌های تعریف‌شده (دو اتاق مربوط اندام کُلک) - در حالت وضع موجود مطالعات دینامیک سیالات محاسباتی یا CFD با استفاده از نرم‌افزار انسیس فلونت نسخه R1 2021 و برای اتاق‌های تعریف‌شده در طبقه دوم نمونه برداشت‌شده (مطابق تصویر شماره ۱۴) انجام شد. هندسه خانه برداشت‌شده (تصویر شماره ۱۲) با نرم‌افزار راینو^۸ نسخه ۷ و مش‌های سه‌بعدی نیز با مشخصات ذیل ساخته شد:

- Number of mesh cells: 1,800,000
- Used cell type: tetragonal
- Turbulence modeling: k-epsilon RNG
- Walls: no slip condition
- Entry points: velocity inlet
- Exit points: pressure outlet



ت ۱۴. اتاق‌های موردنظر برای شبیه‌سازی



ت ۱۳. نمودار گلباد ماهیانه باد به همراه جهت و سرعت آن

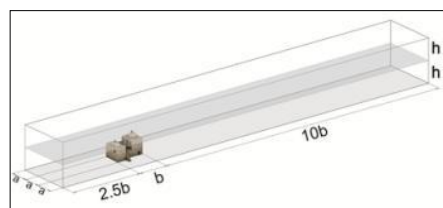
ج ۲. سرعت میانگین و جهت باد غالب به صورت ماهیانه

| ماه‌ها | جهت باد غالب | سرعت میانگین (متر بر ثانیه) |
|--------|-------------------|-----------------------------|
| JAN | ۳۰ درجه شمال غربی | ۷ |
| FEB | ۳۰ درجه شمال غربی | ۱۱ |
| MAR | ۳۰ درجه شمال غربی | ۸ |
| APR | ۳۰ درجه شمال غربی | ۶ |
| MAY | ۳۵ درجه شمال غربی | ۷ |
| JUN | ۳۰ درجه شمال غربی | ۹ |
| JUL | ۳۵ درجه شمال غربی | ۱۱ |
| AUG | ۳۰ درجه شمال غربی | ۱۱ |
| SEP | ۳۰ درجه شمال غربی | ۱۳ |
| OCT | ۲۰ درجه شمال غربی | ۸ |
| NOV | ۲۰ درجه شمال غربی | ۷ |
| DEC | ۲۵ درجه شمال غربی | ۷ |

در ۵۰ سال گذشته، مهندسی محاسبات باد^۷ یک راهکار مطلوب در شبیه‌سازی باد در ساختمان (Hajdukiewicz et al., 2013) و به‌طور گسترده برای مدل‌سازی جریان هوا در فضاهای داخلی و باز تبدیل گشته است (D'Agostino et al., 2014). روش CFD در سه جبهه اصلی اعمال می‌شود:

۱. شبیه‌سازی CFD شرایط باد در سطح عابر پیاده در اطراف ساختمان‌ها؛
۲. شبیه‌سازی CFD تهویه طبیعی ساختمان‌ها؛

دامنه شبیه‌سازی^۹ در نظر گرفته شده برای این تحلیل، با فرض در نظر گرفتن عرض ساختمان (a) و طول ساختمان (b) و ارتفاع ساختمان (h) مطابق تصویر شماره ۱۵ است.



ت۱۵. دامنه شبیه‌سازی برای تونل باد

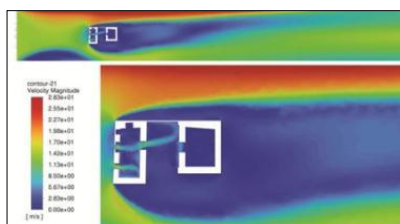
داده‌های ورودی به نرم‌افزار شبیه‌سازی، فایل حاوی داده‌های اقلیمی شهرستان زابل (EPW) و سرعت باد باتوجه به نمودار گلباد به صورت میانگین ۱۰ متر بر ثانیه و جهت آن نسبت به محور شمال، ۳۰ درجه به سمت غرب لحاظ شده است.

نتایج شبیه‌سازی نشان می‌دهد باد با سرعت تقریبی ۹ متر بر ثانیه از دریچه شمالی وارد اتاق می‌شود (VA) و سرعت آن به ۱۲ متر بر ثانیه می‌رسد (VB) و سپس با سرعت تقریبی ۶ متر بر ثانیه از طریق درب اتاق شمالی خارج می‌گردد (VC). در اتاق جنوبی باد با سرعت ۸ متر بر ثانیه از وجه شمالی این اتاق وارد اتاق شده (VF) و سپس با سرعت ۳ متر بر ثانیه در این اتاق جریان می‌یابد (VG).

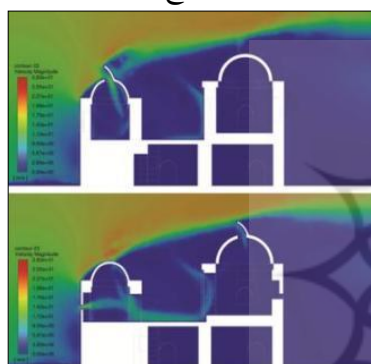
در قسمت‌هایی که گلک وجود دارد سرعت باد در نزدیکی دهانه آن قبل از ورود ۱۴ متر بر ثانیه (VI) و پس از ورود به اتاق شمالی (تصویر شماره ۱۶) در ارتفاع ۲۵۰ سانتی‌متر از کف طبقه بالا این سرعت به حدود ۱۶ متر بر ثانیه می‌رسد (VJ) و در تراز ۷۰ سانتی‌متری از کف این اتاق سرعت باد حدود ۶ متر بر ثانیه است (VE).

در اتاق جنوبی (تصویر شماره ۱۶) نیز سرعت باد قبل از ورود به دهانه گلک، ۹ متر بر ثانیه (VK) و پس از

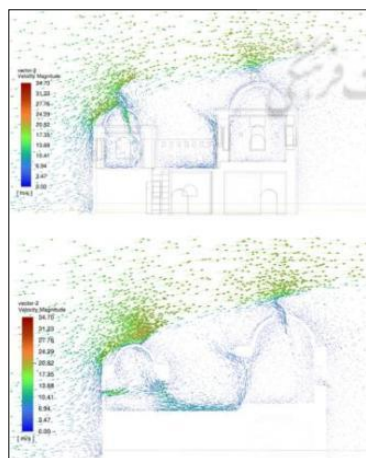
ورود به اتاق در تراز ۲۵۰ سانتی‌متر از کف ۴ متر بر ثانیه (VL) و در تراز ۷۰ سانتی‌متری این اتاق تقریباً ۲ متر بر ثانیه است (VH) (تصاویر شماره ۱۷ و ۱۸) (جدول شماره ۲).



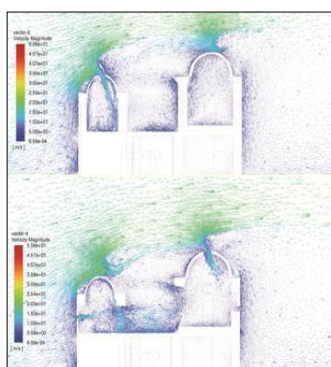
ت۱۶. تصویر نحوه توزیع باد در اتاق‌های مورد بررسی - حالت وضع موجود



ت۱۷. مقطع ساختمان و نحوه ورود هوا به اتاق‌ها - حالت وضع موجود



ت۱۸. بردارهای سرعت باد در نقاط مختلف فضاهای مورد تحلیل - در حالت وضع موجود (دارای گلک)

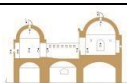



ت ۲۱. بردارهای سرعت باد در نقاط مختلف فضاهای مورد

تحلیل - حالت باد عمود بر دهانه کُلک

ج ۳. سرعت باد در نقاط مختلف فضاهای مورد بررسی -

حالت باد عمود بر دهانه کُلک

| اتاق‌های نمونه | |
|---|---|
| نقاط اندازه‌گیری | |
|  |  |
| سرعت باد (m/s) | |
| VA= | 14 |
| VB= | 17 |
| VC= | 9 |
| VD= | 11 |
| VE= | 10 |
| VF= | 5 |
| VG= | 3 |
| VH= | 3 |
| VI= | 9 |
| VJ= | 18 |
| VK= | 8 |
| VL= | 15 |

رفتار باد در اتاق‌های تعریف‌شده - در حالت بدون

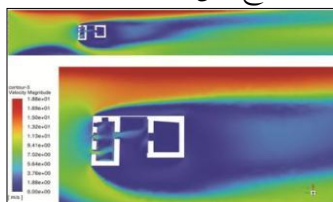
کُلک

تمامی شرایط مرزی این حالت به همراه ورودی‌های

نرم‌افزار و همچنین دامنه شبیه‌سازی نسبت به حالت

(با کُلک -وضع موجود) ثابت در نظر گرفته شده است.

نتایج شبیه‌سازی به شرح ذیل است:





ت ۲۲. تصویر نحوه توزیع باد در پلان اتاق‌های

مورد بررسی - در حالت بدون کُلک

ج ۲. سرعت باد در نقاط مختلف فضاهای مورد بررسی -

در حالت وضع موجود (دارای کُلک)

| اتاق‌های نمونه | |
|--|---|
| نقاط اندازه‌گیری | |
|  |  |
| سرعت باد (m/s) | |
| VA= | 9 |
| VB= | 15 |
| VC= | 6 |
| VD= | 10 |
| VE= | 9 |
| VF= | 3 |
| VG= | 2 |
| VH= | 2 |
| VI= | 12 |
| VJ= | 16 |
| VK= | 5 |
| VL= | 8 |

رفتار باد در حالت وضع موجود و وزش باد

به صورت عمود بر دهانه کُلک

تمامی شرایط مرزی این حالت به همراه ورودی‌های

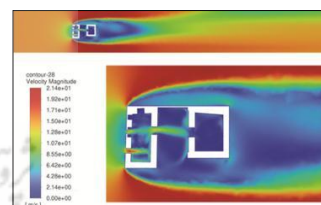
نرم‌افزار و همچنین دامنه شبیه‌سازی نسبت به حالت

قبل (با کُلک -وضع موجود) ثابت در نظر گرفته شده

است و فقط باد در این حالت به صورت عمود بر دهانه

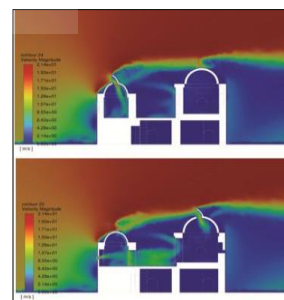
کُلک می‌وزد. در این حالت نتایج شبیه‌سازی به شرح

ذیل است: (تصاویر شماره ۱۹ تا ۲۱)



ت ۱۹. تصویر نحوه توزیع باد در اتاق‌های مورد

بررسی -حالت باد عمود بر دهانه کُلک



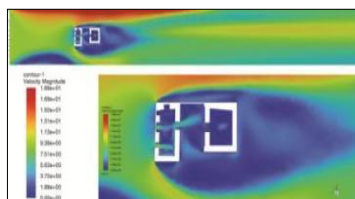
ت ۲۰. مقطع ساختمان و نحوه ورود هوا به اتاق‌ها - حالت

باد عمود بر دهانه کُلک

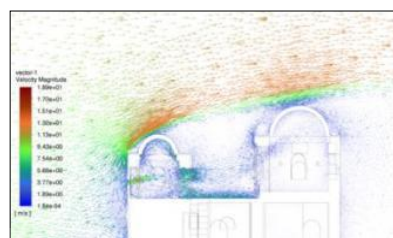
جهت وزش باد در این حالت مانند حالت اول (وضع موجود) ۳۰ درجه نسبت به محور شمال به سمت غرب است و در این حالت فقط ارتفاع کُلک (۷۰ سانتی متر) به اندازه ارتفاع آن افزایش یافته است. نتایج شبیه سازی به این شرح است (تصاویر شماره ۲۵ تا ۲۷) و جدول شماره ۵).



ت ۲۳. مقطع ساختمان و نحوه ورود هوا به اتاق‌ها (در حالت بدون کُلک)

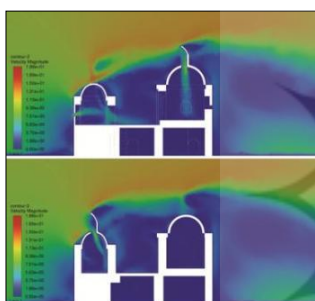


ت ۲۵. تصویر نحوه توزیع باد در پلان اتاق‌های مورد بررسی - در حالت کُلک با ارتفاع بیشتر

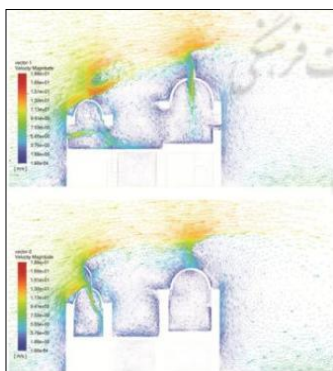


ت ۲۴. بردارهای سرعت باد در نقاط مختلف فضاهای مورد تحلیل (در حالت بدون کُلک)

برای مقایسه بین حالت‌های مختلف سرعت باد در همان نقاط حالت قبل اندازه‌گیری می‌شوند (جدول شماره ۴).
ج ۴. سرعت باد در نقاط مختلف فضاهای مورد بررسی - حالت بدون کُلک



ت ۲۶. مقطع ساختمان و نحوه ورود هوا به اتاق‌ها (در حالت کُلک با ارتفاع بیشتر)

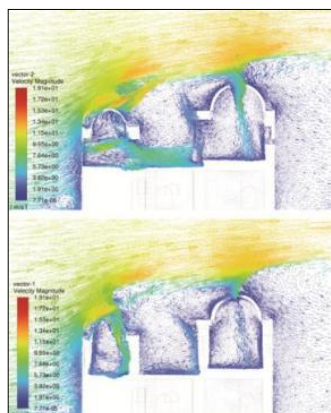


ت ۲۷. بردارهای سرعت باد در نقاط مختلف فضاهای مورد تحلیل (در حالت کُلک با ارتفاع بیشتر)

| اتاق‌های نمونه | |
|------------------|-----|
| نقاط اندازه‌گیری | |
| | |
| سرعت باد (m/s) | |
| VA= | 6 |
| VB= | 12 |
| VC= | 2 |
| VD= | 4 |
| VE= | 6 |
| VF= | 3 |
| VG= | 1 |
| VH= | 0/5 |
| VI= | 12 |
| VJ= | 3 |
| VK= | 5 |
| VL= | 0 |



رفتار باد در حالت کُلک با ارتفاع بیشتر

تمامی شرایط مرزی این حالت به همراه ورودی‌های نرم‌افزار و همچنین دامنه شبیه‌سازی نسبت به حالت‌های قبل ثابت در نظر گرفته شده است. لازم به ذکر است



ت ۳۰. بردارهای سرعت باد در نقاط مختلف فضاهای مورد تحلیل (در حالت کُکک با دهانه بازتر)

ج ۶. سرعت باد در نقاط مختلف فضاهای موردبررسی - (در حالت کُکک با دهانه بازتر)

| اتاق‌های نمونه | |
|--|--|
| نقاط اندازه‌گیری | |
|  |  |
| سرعت باد (m/s) | |
| VA= | 6 |
| VB= | 10 |
| VC= | 5 |
| VD= | 8 |
| VE= | 5 |
| VF= | 2 |
| VG= | 1 |
| VH= | 5 |
| VI= | 6 |
| VJ= | 11 |
| VK= | 5 |
| VL= | 10 |

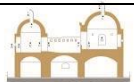
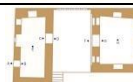
مقایسه سرعت باد در پنج حالت

در جدول شماره ۷ به صورت خلاصه سرعت باد در نقاط تعیین شده اتاق‌های موردبررسی در نمونه برداشت شده ارائه شده است:

ج ۷. مقایسه سرعت باد در حالت‌های مختلف (بر حسب متر بر ثانیه)

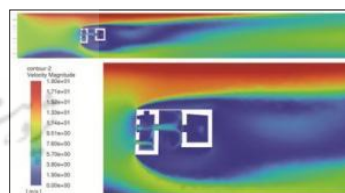
| حالت | حالت چهارم | حالت | حالت سوم | حالت | نقاط |
|---------------|----------------|------|----------|-------|------|
| پنجم | کُکک با ارتفاع | دوم | باد عمود | اول | |
| کُکک با دهانه | بیشتر | بدون | بر دهانه | موجود | |
| بازتر | | کُکک | کُکک | | |
| ۶ | ۷ | ۶ | ۱۴ | ۹ | A |
| ۱۰ | ۱۰ | ۱۲ | ۱۷ | ۱۵ | B |
| ۵ | ۵ | ۲ | ۹ | ۶ | C |
| ۸ | ۸ | ۴ | ۱۱ | ۱۰ | D |

ج ۵. سرعت باد در نقاط مختلف فضاهای موردبررسی - در حالت کُکک با ارتفاع بیشتر

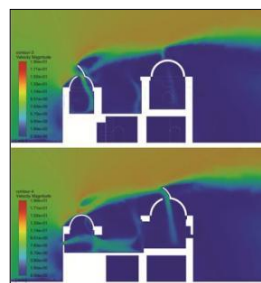
| اتاق‌های نمونه | |
|--|---|
| نقاط اندازه‌گیری | |
|  |  |
| سرعت باد (m/s) | |
| VA= | 7 |
| VB= | 10 |
| VC= | 5 |
| VD= | 8 |
| VE= | 4 |
| VF= | 3 |
| VG= | 2 |
| VH= | 6 |
| VI= | 6 |
| VJ= | 13 |
| VK= | 7 |
| VL= | 16 |

رفتار باد در حالت کُکک با دهانه بزرگ‌تر

تمامی شرایط مرزی این حالت به همراه ورودی‌های نرم‌افزار و همچنین دامنه شبیه‌سازی نسبت به حالت‌های قبل ثابت در نظر گرفته شده است. لازم به ذکر است جهت وزش باد در این حالت مانند حالت اول (وضع موجود) ۳۰ درجه نسبت به محور شمال به سمت غرب است و در این حالت فقط دهانه کُکک (تقریباً ۱/۳ برابر) افزایش یافته است. نتایج شبیه‌سازی به این شرح است: (تصاویر ۲۸ تا ۳۰) (جدول شماره ۶).



ت ۲۸. تصویر نحوه توزیع باد در پلان اتاق‌های موردبررسی - (در حالت کُکک با دهانه بازتر)



ت ۲۹. مقطع ساختمان و نحوه ورود هوا به اتاق‌ها (در حالت کُکک با دهانه بازتر)

| | | | | | |
|----|----|-----|----|----|---|
| ۵ | ۴ | ۶ | ۱۰ | ۹ | E |
| ۲ | ۳ | ۳ | ۵ | ۳ | F |
| ۱ | ۲ | ۱ | ۳ | ۲ | G |
| ۵ | ۶ | ۰/۵ | ۳ | ۲ | H |
| ۶ | ۶ | ۱۲ | ۹ | ۱۲ | I |
| ۱۱ | ۱۳ | ۳ | ۱۸ | ۱۶ | J |
| ۵ | ۷ | ۵ | ۸ | ۵ | K |
| ۱۰ | ۱۶ | ۰ | ۱۵ | ۸ | L |

نتیجه

تهویه در بخش مسکن، بخش زیادی از انرژی را امروزه مصرف می‌کند که در نتیجه منجر به مقدار زیادی از آلودگی می‌شود، به‌ویژه در کشورهای کمتر توسعه‌یافته که با بهره‌گیری از انرژی‌های تجدیدپذیر (تهویه طبیعی) یا بهره‌گیری از روش ساخت مسکن به شیوه معماری بومی تأثیرات متعددی را در کاهش مصرف انرژی دارد.

این روش در مسکن روستایی کشورمان به‌خصوص در پهنه استان سیستان و بلوچستان به‌خوبی در الگوی مسکن خود، اندام‌هایی را دارا است که جهت برقراری آسایش حرارتی در این نمونه مسکن، نقش خود را ایفا نموده است.

بررسی رفتار باد در این نوع مسکن نشان می‌دهد وجود اندام اقلیمی کُلک تأثیر مطلوبی را در ایجاد آسایش حرارتی بر اساس تهویه طبیعی ایجاد می‌نماید. به‌صورت کلی با مقایسه نتایج، موارد ذیل قابل ارائه است: - باتوجه به الگوی مورد تحلیل که الگوی رایج در روستای مورد مطالعه است، این مورد قابل ذکر است که باتوجه به وجود اندام‌های اقلیمی دیگر (متفاوت از کُلک) اندام‌های دیگری وجود دارد که نقش تکمیل‌کننده فرایند تهویه طبیعی را بر عهده دارند؛ به‌عنوان مثال: وجود برخی دریاچه‌ها جهت ایجاد فشارهای مثبت و منفی برای مکش و تکمیل فرایند مذکور که چرخه تهویه طبیعی را برای برقراری شرایط آسایش حرارتی مهیا می‌سازد.

- الگوی خانه‌های این روستا نشان می‌دهد که وجود اختلاف ارتفاع پایه سقف‌ها و تغییر نوع پوشش سقف‌ها (گنبد نیم‌دایره و سقف سیستانی) دلیلی برای بهبود شرایط تلاطم هوایی و هدایت باد به سمت دهانه‌های کُلک بوده است.

- با بررسی حالت‌های مختلف و تأثیر این حالت‌ها بر سرعت جریان باد، در حالتی که باد به‌صورت عمود بر دهانه کُلک می‌وزد، سرعت جریان باد در فضاهای داخلی بیشتر است اما این سرعت باتوجه به بحث آسایش حرارتی مطلوب نیست.

- در حالت فعلی (وضع موجود) که کُلک با زاویه ۳۰ درجه نسبت به باد غالب قرار گرفته است، جریان باد به‌صورت کنترل‌شده و در جهت برقراری آسایش حرارتی جریان دارد.

- با ارتفاع گرفتن پایه کُلک، سرعت باد در قسمت دریاچه و سایر بازشوها نسبت به وضع موجود کاهش یافته و در اتاق سمت جنوب افزایش می‌یابد که باتوجه به اینکه دو کُلک تقریباً به فاصله ۵۰ سانتی‌متر نسبت به خط موازی یکدیگر فاصله دارند، انتظار می‌رود با بلندتر شدن پایه کُلک و جریان نامنظم باد در ارتفاع بالاتر این شرایط ایجاد شده باشد.

- با مقایسه سرعت جریان باد در حالت بدون کُلک می‌توان تأثیر این اندام را در برقراری شرایط آسایش حرارتی از طریق تهویه طبیعی مشاهده نمود، به‌نحوی که در صورت عدم وجود این اندام در نمونه مورد تحلیل، جریان باد حاصل از این اندام در فضاهای داخلی به صفر می‌رسد.

- با افزایش دهانه کُلک تغییر زیادی در افزایش جریان باد در فضاهای داخلی ایجاد نمی‌شود و همچنین سرعت باد در دو طرف درب‌ها و دریاچه موجود کاهش می‌یابد که می‌توان این ادعا را که دریاچه و بازشوهای

قسمت‌های اتاق‌های دارای گُلک شرایط دمایی بهتری دارد (حیاط‌های میانی).

پی‌نوشت

1. Kolak.
2. Ansys Fluent.
3. Climate Consultant
4. CFD: Computational Fluid Dynamics.
5. Köppen.
6. Oen Smith.
7. CWE: Computational Wind Engineering.
8. Rhinoceros.
9. Far Field.

فهرست منابع

- اداره آب‌وهواشناسی زابل. (۱۳۸۷). زابل. سیستان و بلوچستان.
- افشار سیستانی، ایرج. (۱۳۶۹). *سیستان نامه*. تهران: انتشارات مرغ آمین.
- بنیاد مسکن انقلاب اسلامی. (۱۳۸۸). *گزارش بهسازی بافت باارزش روستای قلعه‌نو*. تهران: بنیاد مسکن انقلاب اسلامی.
- حیدری، ابوالفضل؛ داوطلب، جمشید. (۱۳۹۹). بررسی و شناخت اثر خارخانه بر میزان سرعت باد در مسکن بومی سیستان، *فصلنامه جغرافیا و آمایش شهری-منطقه‌ای*، ۱۰ (۳۵): ۴۹-۶۴.
- حیدری، ابوالفضل؛ داوطلب، جمشید. (۱۳۹۸). نقش خارخانه در تعدیل دمایی فضای زیست در مسکن روستایی مؤثر در ارتقای پایداری معماری، مطالعه موردی: مسکن روستایی سیستان، *معماری و شهرسازی پایدار*، ۷ (۲): ۶۷-۵۷.
- داوطلب، جمشید؛ حافظی، محمدرضا؛ مرتضی، ادیب. (۱۳۹۵). بررسی میزان اثر و نقش پوشش گیاهی بر متغیرهای تعیین‌کننده آسایش حرارتی فضای باز، مطالعه موردی: اقلیم گرم‌وخشک سیستان، *صفه*، ۲۶ (۴): ۴۱-۱۹.
- داوطلب، جمشید؛ حیدری، ابوالفضل. (۱۳۹۸). بررسی تحلیلی-عددی میزان اثر رطوبتی خارخانه در مسکن بومی سیستان، *مسکن و محیط روستا*، ۱۶۹: ۸۹-۱۰۰.
- رضامنش، منیره؛ نظری آذر، محمد. (۱۳۹۲). انرژی‌های تجدیدپذیر و کاربرد آن در ساختمان (سیستم فتوولتائیک)،

موجود در تکمیل فرایند تهویه موردنظر نقش مهمی ایفا می‌نمایند را اثبات نمود.

- پیشنهاد می‌شود باتوجه‌به شرایط جریان باد در مرزهای درب‌های ورودی و ایجاد فشارهای مثبت و منفی در جداره‌های پشت و جلوی آن از پنجره و دریچه‌هایی در طرفین درب‌ها تعبیه گردد تا از مشکلاتی نظیر جریان متلاطم در نزدیکی ورودی‌ها پرهیز شود. گرچه به نظر می‌رسد قاب‌نماهای موردبررسی در اتاق جنوبی نمونه برداشت‌شده در ابتدا کارکرد بازشو داشته‌اند و پس از مدتی به دلایلی توسط ساکنین مسدود گردیده‌اند.

- جهت جریان باد در این روستا عمود بر دهانه‌های گُلک نیست (۳۰ درجه اختلاف وجود دارد) و به نظر می‌رسد اینکه خانه‌های روستا با اختلاف نسبت به جریان غالب ساخته شده‌اند بدین منظور است که سرعت باد را با کنترل به دهانه‌های گُلک هدایت کنند؛ اگرچه این مهم باید از ابعاد مختلف نظیر دریافت نور و سایر موارد اقلیمی و کالبدی بررسی شود که می‌تواند زمینه مناسبی برای پژوهش‌های آتی پژوهشگران این حوزه باشد.

- اتاق جنوبی عملکرد ضعیف‌تری در تهویه طبیعی نسبت به اتاق جنوبی دارد. ولی باتوجه‌به موقعیت قرارگیری و حیاط موجود و سایه‌اندازی اتاق شمالی، شرایط حرارتی مطلوب‌تری را نسبت به اتاق شمالی دارا است. شاید مسدود کردن دو بازشوی کناری درب این اتاق نیز به همین دلیل دریافت نور زیاد باشد.

- پیشنهاد می‌شود در این نوع مسکن استفاده از پنجره‌های بزرگ پرهیز گردد و به جای آن از دریچه‌های کوچک که نقش تکمیل‌کننده فرایند تهویه طبیعی را تأمین می‌نمایند استفاده شود.

- بررسی‌ها نشان می‌دهد که نواحی بادگیر در پشت

59, 290–302.

- Heidari, A., S. Sahebzadeh, and Z. Dalvand. 2017. Natural ventilation in vernacular architecture of Sistan, Iran; classification and CFD study of compound rooms. *Sustainability* 9: 1-19. DOI:10.3390/su9061048

- Fathy, H. (1986). *Natural Energy and Vernacular Architecture: Principles and Examples with Reference to Hot and Arid Climates*; The University of Chicago Press, Ltd.: London, UK, 1986.

- Foruzanmehr, A. People's Perception of the loggia: A Vernacular Passive cooling system in Iranian architecture. *Sustain. Cities Soc.* 2015, 19, 61–67.

- Foruzanmehr, A., Vellinga, M. Vernacular architecture: Question of comfort and practicability. *Build. Res. Inf.* 2011, 39, 274–285.

- Khalili, M., & Amindeldar, S. (2014). Traditional solutions in low energy buildings of hot-arid regions of Iran. *Sustainable Cities and Society*, 13, 171–181. <https://doi.org/10.1016/j.scs.2014.05.008>

- Marin, P.; Saffari, M.; de Garcia, A.; Zhu, X.; Farid, M.; Cabeza, L.; Ushak, S. (2016). Energy saving due to the use of PCM for relocatable lightweight buildings passive heating and cooling in different weather conditions. *Energy Build.* 2016, 129, 274–283.

- Memarian, G., & Brown, F. D. (2004). The shared characteristics of Iranian and Arab courtyard houses. In *Taylor & Francis eBooks* (pp. 49–62). <https://doi.org/10.4324/9780203646724-12>

- Raggete, F. (2003). *Traditional Domestic Architecture of the Arab Region*; Axel Menges: Stuttgart, Germany, 2003.

- Ramezani, B., Maghsodi, F., Shafaghati, M. (2013). Assessing Feasibility of Climatic Comfort in Bandar-e Anzali by Effective Temperature Model and Evans. *Int. J. Agric. Crop Sci.* 2013, 6, 825–832.

- Soleymanpour, R., Parsaee, N., & Banaei, M. (2015). Climate comfort Comparison of vernacular and contemporary houses of Iran. *Procedia - Social and Behavioral Sciences*, 201, 49–61. <https://doi.org/10.1016/j.sbspro.2015.08.118>

- Van Hooff, T., & Blocken, B. B. (2010). Coupled urban wind flow and indoor natural ventilation modelling on a high-resolution grid: A case study for the Amsterdam ArenA stadium. *Environmental Modelling and Software*, 25(1), 51–65. <https://doi.org/10.1016/j.envsoft.2009.07.008>

- Wang, T.; Seo, S.; Liao, P.-C.; Fang, D. GHG emission reduction performance of state-of-the-art green buildings: Review of two case studies. *Renew. Sustain. Energy Rev.* 2016, 56, 484–493.

DOI: 10.22034/42.184.59

دومین همایش ملی اقلیم، ساختمان و بهینه‌سازی مصرف انرژی، اصفهان.

- سرگزئی، محمدعلی؛ طاهباز، منصوره؛ زرگر، اکبر. (۱۴۰۰).

رفتارهای سازگارانه و آسایش حرارتی تابستانه در فضاهای داخلی معماری بومی منطقه سیستان. معماری اقلیم گرم و خشک، ۸ (۱۲): ۱۶۹–۱۶۹.

- سرگزئی، محمدعلی؛ طاهباز، منصوره؛ حاج‌ابراهیم زرگر، اکبر. (۱۴۰۰). مقایسه عملکرد حرارتی شگردهای اقلیمی دُرچِه،

کُلک و خارخَنه در دوره گرم سال در مسکن بومی منطقه سیستان. *مطالعات معماری ایران*، ۲۰: ۸۸–۶۷.

- شرکت طرح اندیشان شهر. (۱۳۸۴). تهران.

- فیاض، ریما. (۱۴۰۰). *سامانه‌های غیرفعال خورشیدی*. تهران: انتشارات دانشگاه هنر.

- مرکز آمار ایران. (۱۳۹۵). *سرشماری نفوس و مسکن سال ۱۳۹۵*. تهران: مرکز آمار ایران.

- معماریان، غلامحسین؛ محمد مرادی؛ اصغر، حسینعلی‌پور، سیدمصطفی؛ حیدری، ابوالفضل؛ دودی، سعیده. (۱۳۹۶). تحلیل

رفتار باد در تهویه طبیعی مسکن بومی روستای قلعه نوی سیستان به کمک CFD، مسکن و محیط روستا، ۱۵۷: ۳۶–۲۱.

- مولانایی، صلاح‌الدین؛ سلیمانی، سارا. (۱۳۹۵). عناصر باارزش معماری بومی منطقه سیستان بر مبنای مؤلفه‌های اقلیمی

معماری پایدار، *باغ نظر*، ۱۳ (۴۱): ۶۶–۵۷.

- حناچی، پیروز؛ همتیان، فاطمه و کوششگران، علی‌اکبر. (۱۳۹۰).

حفاظت و توسعه در بافت‌های باارزش روستایی. تهران: بنیاد مسکن انقلاب اسلامی.

- Abro, R.S. Recognition of passive cooling techniques. *Renew. Energy* 1994, 5, 1143–1146.

- Blocken, B. (2014). 50 years of Computational Wind Engineering: Past, present and future. *J. Wind Eng. Ind. Aerodyn.* 2014, 129, 69–102.

- D'Agostino, D., & Congedo, P. M. (2014). CFD modeling and moisture dynamics implications of ventilation scenarios in historical buildings. *Building and Environment*, 79, 181–193. <https://doi.org/10.1016/j.buildenv.2014.05.007>

- Davtala, J., and A. Heidari. 2021. The effect of Kharkhona on outdoor thermal comfort in hot and dry climate: A case study of Sistan region in Iran. *Sustainable Cities and Society* 65. 1-11. DOI: 10.1016/j.scs.2020.102607

- Hajdukiewicz, M.; Geron, M.; Keane, M.M. Formal calibration methodology for CFD models of naturally ventilated indoor environments. *Build. Environ.* 2013,